

К ТЕОРИИ ОДНОЙ ПРОСТЕЙШЕЙ СИСТЕМЫ РЕГУЛИРОВАНИЯ С СЕРВОМОТОРОМ ПЕРЕМЕННОЙ СКОРОСТИ И ЗОНОЙ НАСЫЩЕНИЯ

Г. В. Аронович

В статье методом точечного преобразования исследуется динамика простейшей системы регулирования при сервомоторе переменной скорости с ограниченным изменением выходной величины.

Рассмотрим динамическую систему, описываемую (в безразмерных переменных) следующим дифференциальным уравнением

$$\ddot{x} + 2h\dot{x} + x = F(\psi). \quad (1)$$

Здесь x — отклонение от стационарного режима, $\psi = x + k\dot{x}$, а вид функции $F(\psi)$ изображен на рис. 1.

Принимаем, что $h > 0$, $k \geq 0$ *

К подобной задаче при соответствующей идеализации сводится исследование динамики ряда релейных систем регулирования второго порядка, у которых с целью улучшения сходимости процесса регулирования в схему введена коррекция не только по координате, но и по скорости. В соответствии с видом функции $F(\psi)$ фазовая плоскость x, y (где $y \equiv \dot{x}$) разбивается прямыми $x + ky = \delta$ и $x + ky = -\delta$ на три области G_1, G_2, G_3 , в каждой из которых уравнение (1) линейно. В области G_1 движение системы определяется дифференциальным уравнением

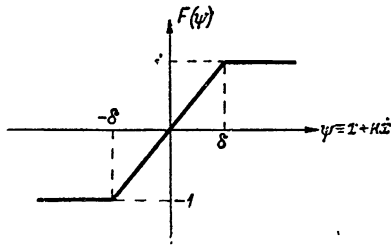


Рис. 1

$$\ddot{x} + 2h\dot{x} + x = 1, \quad \psi > \delta,$$

$$\text{в области } G_2 \quad \ddot{x} + \left(2h - \frac{k}{\delta}\right)\dot{x} + \left(1 - \frac{1}{\delta}\right)x = 0, \quad |\psi| < \delta, \quad \left. \right\} \quad (2)$$

$$\text{в области } G_3 \quad \ddot{x} + 2h\dot{x} + x = -1, \quad \psi < -\delta$$

Считаем, что на всей фазовой плоскости x и y являются непрерывными функциями времени t и, следовательно, фазовые траектории непрерывны при переходе через эти прямые. Уравнения (2) инвариантны относительно замены x, y на $-x, -y$, вследствие чего фазовые траектории симметричны относительно начала координат. Изоклиной вертикальных касательных является ось абсцисс $y=0$, а изоклиной горизонтальных касательных — ломаная

$$-2hy - x + F(x + ky) = 0.$$

* Случай $\psi \equiv k\dot{x}$ ($k = 2h > \frac{1}{2}$) рассмотрен методом точечных преобразований Н. А. Железовым [1].

Если $\delta < 1$, то рассматриваемая динамическая система имеет три состояния равновесия в точках $(1,0)$, $(0,0)$, $(-1,0)$; если $\delta > 1$, то состояние равновесия будет единственным в начале координат $(0,0)$. Состояния равновесия $(1,0)$ и $(-1,0)$ могут быть или устойчивыми фокусами, или устойчивыми узлами. Состояние равновесия $(0,0)$ в зависимости от значений параметров h , k , δ седло, фокус или узел (устойчивый или неустойчивый). Отметим, что бесконечность фазовой плоскости всегда неустойчива.

Для исследования поведения системы сведем задачу к точечному преобразованию прямой в прямую [2]. В качестве отрезка без контакта возьмем полуправую L_0 с уравнением $\psi = \delta$ при значениях $y > y_B = \frac{\delta-1}{c} k$,

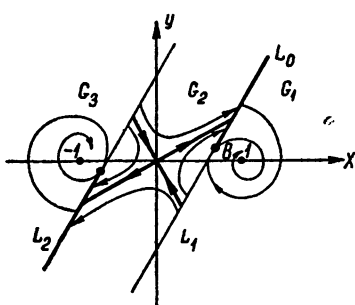


Рис. 2

где $c \equiv 1 - 2hk + k^2$ (рис. 2). Величина y_B находится из условия касания интегральной кривой области G_1 с прямой $\psi = \delta$. Найдем точечное преобразование этой полуправой в себя, осуществляющее траекториями системы (2). Пусть изображающая точка начинает ($t=0$) движение из точки (x_0, y_0) полуправой L_0 и через $t = \tau_1$ приходит в точку (x_1, y_1) полуправой L_1 , уравнение которой $\psi = \delta$ при значениях $y < y_B$ (преобразование S). Из решения первого из уравнений (2) легко находим обычными приемами выражение для функции соответствия. При $h < 1$ последняя имеет вид (в параметрической форме)

$$\left. \begin{aligned} y_0 &= \frac{1-\delta}{c} \left(\frac{\cos \omega \tau_1 - e^{h\tau_1}}{\sin \omega \tau_1} \omega + h - k \right), \\ y_1 &= \frac{1-\delta}{c} \left(\frac{-\cos \omega \tau_1 + e^{-h\tau_1}}{\sin \omega \tau_1} \omega + h - k \right) \end{aligned} \right\}, \quad (3)$$

$(\omega = \sqrt{1 - h^2}).$

Здесь τ_1 меняется в интервалах

$$\begin{aligned} \pi < \omega \tau_1 &< \omega \bar{\tau}_1 \quad \text{при } \delta < 1; \\ 0 < \omega \tau_1 &< \pi \quad \delta > 1. \end{aligned}$$

Уравнение для $\bar{\tau}_1$ имеет вид

$$h \sin \omega \bar{\tau}_1 - \omega \cos \omega \bar{\tau}_1 + \omega e^{-h \bar{\tau}_1} = 0.$$

При $h > 1$

$$\left. \begin{aligned} y_0 &= \frac{1-\delta}{c} \left(\frac{\operatorname{ch} \omega_1 \tau_1 - e^{h\tau_1}}{\operatorname{sh} \omega_1 \tau_1} \omega_1 + h - k \right) \\ y_1 &= \frac{1-\delta}{c} \left(\frac{-\operatorname{ch} \omega_1 \tau_1 + e^{-h\tau_1}}{\operatorname{sh} \omega_1 \tau_1} \omega_1 + h - k \right) \end{aligned} \right\}. \quad (3')$$

$(\omega_1 = \sqrt{h^2 - 1}).$

Если $h > 1$ и $\delta < 1$, то преобразование S к точкам полуправой L_0 неприменимо, ибо все выходящие из L_0 траектории попадают в область притяжения устойчивого узла. Если $h > 1$ и $\delta > 1$, то $0 < \tau_1 < \infty$. Пусть далее изображающая точка выходит (в момент $t=0$) из точки (x_1, y_1) полуправой L_1 и через $t = \tau_2$ приходит в точку (x_2, y_2) полуправой L_2 по траекториям области G_2 (преобразование E). Функция соответствия запишется в зависимости от знака выражения $\Delta \equiv h_1^2 - k_1$ в виде.

$$\left. \begin{aligned} y_1 &= -\frac{\delta}{c} \left(\frac{\operatorname{ch} \omega_2 \tau_2 + e^{h_1 \tau_2}}{\operatorname{sh} \omega_2 \tau_2} \omega_2 + h_1 - kk_1 \right) \\ y_2 &= -\frac{\delta}{c} \left(\frac{\operatorname{ch} \omega_2 \tau_2 + e^{-h_1 \tau_2}}{\operatorname{sh} \omega_2 \tau_2} \omega_2 + kk_1 - h_1 \right) \end{aligned} \right\} \quad (4)$$

$0 < \tau_2 < \infty$

(здесь введены обозначения $h_1 \equiv h - \frac{k}{2\delta}$; $k_1 \equiv 1 - \frac{1}{\delta}$ и $\omega_2 = \sqrt{h_1^2 - k_1}$)

или в виде

$$\left. \begin{aligned} y_1 &= -\frac{\delta}{c} \left(\frac{\cos \omega_3 \tau_2 + e^{h_1 \tau_2}}{\sin \omega_3 \tau_2} \omega_3 + h_1 - kk_1 \right) \\ y_2 &= -\frac{\delta}{c} \left(\frac{\cos \omega_3 \tau_2 + e^{-h_1 \tau_2}}{\sin \omega_3 \tau_2} \omega_3 + kk_1 - h_1 \right) \end{aligned} \right\}. \quad (4')$$

Здесь $\omega_3 = \sqrt{k_1 - h_1^2}$, $0 \leq \omega_3 \tau_2 \leq \omega_3 \bar{\tau}_2 < \pi$, а $\bar{\tau}_2$ является корнем уравнения

$$(1 + e^{h_1 \bar{\tau}_2} + \cos \omega_3 \bar{\tau}_2) \omega_3 - h_1 e^{h_1 \bar{\tau}_2} \sin \omega_3 \bar{\tau}_2 = 0, \text{ если } h_1 > 0$$

(т. е. $y_2(\bar{\tau}_2) = -\frac{\delta k k_1}{c}$),

или уравнения

$$(e^{h_1 \bar{\tau}_2} + \cos \omega_3 \bar{\tau}_2) \omega_3 + h_1 \sin \omega_3 \bar{\tau}_2 = 0, \text{ если } h_1 < 0$$

(т. е. $y_1(\bar{\tau}_2) = \frac{\delta k k_1}{c}$).

В силу симметрии фазовых траекторий относительно начала координат для нахождения точечного преобразования полуправой L_0 в себя достаточно определить преобразование полуправой L_0 в полуправую L_2 , так как всякий раз, когда точка по преобразованию $T=SE$ попадает на полуправую L_2 , можно рассматривать вместо нее симметричную ей точку, принадлежащую L_0 .

Исследуем преобразование S . Если $h < 1$, то особая точка $(1, 0)$ является устойчивым фокусом, траектории в области G_1 — скручивающимися спиральями, а сама функция соответствия изображается соотношениями (3). Отметим, что чем меньше в этих соотношениях параметр преобразования τ_1 , т. е. приведенное время пробега изображающей точки в области G_1 , тем больше y_0 и y_1 (по траекториям с большими y изображающая точка движется быстрее). Для исследования функции соответствия $y_1(y_0)$ найдем:

$$\frac{dy_1}{dy_0} = \frac{-\omega + (h \sin \omega \tau_1 + \omega \cos \omega \tau_1) e^{-h \tau_1}}{\omega + (h \sin \omega \tau_1 - \omega \cos \omega \tau_1) e^{h \tau_1}} \equiv \frac{f_1}{f_2}, \quad (5)$$

$$\frac{d^2 y_1}{dy_0^2} = \frac{c \sin^3 \omega \tau_1}{\omega (1 - \delta)} \cdot \frac{2 (h \sin \omega \tau_1 - \omega \sin h \tau_1)}{[\omega + (h \sin \omega \tau_1 - \omega \cos \omega \tau_1) e^{h \tau_1}]^3} \equiv \frac{c \sin^3 \omega \tau_1}{\omega (1 - \delta)} \cdot \frac{f_3}{f_2^3}. \quad (6)$$

В интервале $0 < \tau_1 \leq \bar{\tau}_1$: $f_1 < 0$, $f_2 > 0$, $f_3 < 0$, т. е. $\frac{dy_1}{dy_0} < 0$, $\frac{d^2 y_1}{dy_0^2} > 0$. Кривая $y_1(y_0)$ при $\tau_1 = \frac{\pi}{\omega}$ имеет асимптоту

$$y_1 = -e^{-\frac{\pi h}{\omega}} y_0 + \frac{1 - \delta}{c} (2h - k)(1 + e^{-\frac{\pi h}{\omega}}). \quad (7)$$

При $\tau_1 = \bar{\tau}_1 : \frac{dy_1}{dy_0} = \infty$.

Если $h > 1$, то особая точка $(1,0)$ является устойчивым узлом. Выражения для $\frac{dy_1}{dy_0}$ и $\frac{d^2y_1}{dy_0^2}$ в этом случае будут следующими:

$$\frac{dy_1}{dy_0} = \frac{-\omega_1 + (h \operatorname{sh} \omega_1 \tau_1 + \omega_1 \operatorname{ch} \omega_1 \tau_1) e^{-h\tau_1}}{\omega_1 + (h \operatorname{sh} \omega_1 \tau_1 - \omega_1 \operatorname{ch} \omega_1 \tau_1) e^{h\tau_1}} \equiv \frac{f_1}{f_2}, \quad (5')$$

$$\frac{d^2y_1}{dy_0^2} = \frac{c \operatorname{sh}^3 \omega_1 \tau_1}{\omega (1-\delta)} \cdot \frac{2(h \operatorname{sh} \omega_1 \tau_1 - \omega_1 \operatorname{sh} h\tau_1)}{[\omega_1 + (h \operatorname{sh} \omega_1 \tau_1 - \omega_1 \operatorname{ch} \omega_1 \tau_1) e^{h\tau_1}]^3} \equiv \frac{c \operatorname{sh}^3 \omega_1 \tau_1}{\omega (1-\delta)} \cdot \frac{f_3}{f_2^3}. \quad (6')$$

Легко видеть, что $\left(\frac{dy_1}{dy_0}\right) < 0$, причем $\left(\frac{dy_1}{dy_0}\right)_{\tau_1=0} = -1$; $\left(\frac{dy_1}{dy_0}\right)_{\tau_1=\infty} = 0$. Далее, так как $f_2 > 0$, $h \operatorname{sh} \omega_1 \tau_1 - \omega_1 \operatorname{sh} h\tau_1 < 0$ и, как указано выше, $\delta > 1$, то знак $\frac{d^2y_1}{dy_0^2}$ зависит от знака c : если $c > 0$, то $\frac{d^2y_1}{dy_0^2} > 0$, если $c < 0$, то $\frac{d^2y_1}{dy_0^2} < 0$.

Исследуем преобразование E . Если $\delta < 1$, то $k_1 = 1 - \frac{1}{\delta} < 0$ и особая точка $(0,0)$ будет седлом. Если $\delta > 1$, то особая точка $(0,0)$ будет узлом или фокусом, устойчивым при $h_1 \equiv h - \frac{k}{2\delta} \geq 0$ и неустойчивым при $h_1 < 0$. Найдем выражения для $\frac{dy_2}{dy_1}$ и $\frac{d^2y_2}{dy_1^2}$. Если $\Delta \equiv h_1^2 - k_1 > 0$, то

$$\frac{dy_2}{dy_1} = \frac{\omega_2 + e^{-h_1 \tau_2} (\omega_2 \operatorname{ch} \omega_2 \tau_2 + h_1 \operatorname{sh} \omega_2 \tau_2)}{\omega_2 + e^{h_1 \tau_2} (\omega_2 \operatorname{ch} \omega_2 \tau_2 - h_1 \operatorname{sh} \omega_2 \tau_2)} \equiv \frac{f_4}{f_5}, \quad (8)$$

$$\begin{aligned} \frac{d^2y_2}{dy_1^2} &= \frac{ck_1 \operatorname{sh}^3 \omega_2 \tau_2}{\delta \omega_2} \cdot \frac{2(\omega_2 \operatorname{sh} h_1 \tau_2 + h_1 \operatorname{sh} \omega_2 \tau_2)}{[\omega_2 + e^{h_1 \tau_2} (\omega_2 \operatorname{ch} \omega_2 \tau_2 - h_1 \operatorname{sh} \omega_2 \tau_2)]^3} \equiv \\ &\equiv \frac{ck_1 \operatorname{sh}^3 \omega_2 \tau_2}{\delta \omega_2} \cdot \frac{f_6}{f_5^3}. \end{aligned} \quad (9)$$

Если $\Delta \equiv h_1^2 - k_1 < 0$, то

$$\frac{dy_2}{dy_1} = \frac{\omega_3 + e^{-h_1 \tau_2} (\omega_3 \cos \omega_3 \tau_2 + h_1 \sin \omega_3 \tau_2)}{\omega_3 + e^{h_1 \tau_2} (\omega_3 \cos \omega_3 \tau_2 - h_1 \sin \omega_3 \tau_2)} \equiv \frac{f_4}{f_5}, \quad (8')$$

$$\begin{aligned} \frac{d^2y_2}{dy_1^2} &= \frac{ck_1 \sin^3 \omega_3 \tau_2}{\delta \omega_3} \cdot \frac{2(\omega_3 \operatorname{sh} h_1 \tau_2 + h_1 \sin \omega_3 \tau_2)}{[\omega_3 + e^{h_1 \tau_2} (\omega_3 \cos \omega_3 \tau_2 - h_1 \sin \omega_3 \tau_2)]^3} \equiv \\ &\equiv \frac{ck_1 \sin^3 \omega_3 \tau_2}{\delta \omega_3} \cdot \frac{f_6}{f_5^3}. \end{aligned} \quad (9')$$

Знаки $\frac{dy_2}{dy_1}$ и $\frac{d^2y_2}{dy_1^2}$ указаны в табл. 1. Случай $h > 1$, $\delta < 1$ в табл. 1 не приведен, так как для него отсутствует преобразование S . При $\tau_2 = 0$ кривая $y_2 = f(y_1)$ имеет асимптоту

$$y_2 = y_1 + \frac{2\delta}{c} (2h - k). \quad (10)$$

Рассмотрим возможные виды диаграмм Кенигса—Лемеря и соответствующие им разбиения фазовой плоскости на траектории.

Таблица 1

0 < h < 1						h > 1					
$\delta < 1$ ($k_1 < 0$)			$\delta > 1$ ($k_1 > 0$)			$\delta > 1$ ($k_1 > 0$)			$k > 0$		
$k < 0$	$k > 0$	$k < 0$	$k > 0$	$h_1 > 0$	$h_1 < 0$	$h_1 > 1$	$h_1 < 0$	$h_1 > 0$	$h_1 < 0$	$h_1 > 0$	$h_1 < 0$
$(h_1 > 0)$	$h_1 > 0$	$h_1 < 0$	$(h_1 > 0)$	$h_1 > 0$	$h_1 < 0$	$(h_1 > 1)$	$h_1 < 0$	$h_1 > 0$	$h_1 < 0$	$h_1 > 0$	$h_1 < 0$
$\Delta > 0$	$\Delta > 0$	$\Delta > 0$	$\Delta > 0$	$\Delta < 0$	$\Delta > 0$	$\Delta < 0$	$\Delta > 0$	$\Delta > 0$	$\Delta < 0$	$\Delta > 0$	$\Delta < 0$
$\frac{dy_2}{dy_1}$	> 0	> 0	> 0	≥ 0	> 0	≥ 0	> 0	≥ 0	> 0	≥ 0	> 0
$\frac{d^2y_2}{dy_1^2}$	< 0	< 0	> 0	≥ 0	> 0	≥ 0	> 0	< 0	≥ 0	> 0	≤ 0
										$(c > 0)$	$(c > 0)$
										$(c < 0)$	$(c < 0)$

1) $h < 1$, $\delta < 1$, $k < 0$. В этом случае $k_1 < 0$, $h_1 > 0$ и $\Delta > 0$.

Начало координат (0,0)—особая точка типа седла. Обозначим

$$\lambda_1 \equiv -h_1 + \sqrt{\Delta} = -h_1 + \omega_2, \quad \lambda_2 \equiv -h_1 - \omega_2.$$

Очевидно, в данном случае $\lambda_1 > 0$, $\lambda_2 < 0$. Отметим, что $c = 1 - 2hk + k^2 = (1 + k\lambda_1)(1 + k\lambda_2) > 0$. Так как $1 + k\lambda_2 > 0$, то $1 + k\lambda_1 > 0$, что означает, что наклон усов седла в точке (0,0) меньше наклона прямых $\psi = \pm \delta$. Для функции $y_2(y_1)$ найдем, что при $\tau_2 = 0$: $y_1 = -\infty$, $y_2 = -\infty$, а при $\tau_2 = \infty$ $y_1 = \frac{\delta\lambda_2}{1 + k\lambda_2}$, $y_2 = -\frac{\delta\lambda_1}{1 + k\lambda_1}$.

Кроме того, $\left(\frac{dy_2}{dy_1}\right)_{\tau_2=\infty} = 0$. Вид диаграммы Кенигса — Лемеря приведен на рис. 3. Положение асимптот на

рис. 3 определяется величинами Δ_1 и Δ_2 . Легко видеть, что

$$\Delta_1 = \frac{1-\delta}{c} (2h-k)(1+e^{-\frac{\pi h}{\omega}}) > 0, \quad (11)$$

$$\Delta_2 = -\frac{2\delta}{c} (2h-k) < 0. \quad (12)$$

Если в уравнение асимптоты (7) вместо y_0 подставить значение $(y_2)_{\tau_2=\infty}$, то определится ордината точки $(y_1)_e$ (см. рис. 3). Разность ординат

$$(y_1)_e - (y_1)_{\tau_2=\infty} = \frac{1-\delta}{c} 2h (1+e^{-\frac{\pi h}{\omega}}) + \frac{\delta}{c} h_1 (1+e^{-\frac{\pi h}{\omega}}) + \frac{\delta}{c} \sqrt{h_1^2 - k_1} (1-e^{-\frac{\pi h}{\omega}}) > 0. \quad (13)$$

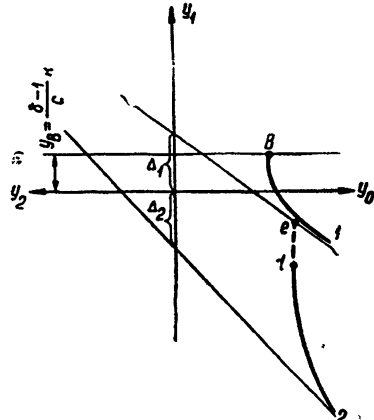


Рис. 3

Поэтому кривые $y_1(y_0)$ и $y_2(y_1)$, как это изображено на рис. 3, не пересекаются, т. е. предельные циклы (автоколебания) отсутствуют. Система в зависимости от начальных условий стремится или к состоянию равновесия (1,0), или к состоянию равновесия (-1,0). Разбиение фазовой плоскости на траектории приведено на рис. 2.

2) $h < 1$, $\delta < 1$, $k > 0$. В этом случае $k_1 < 0$, $\Delta > 0$. Примем $h_1 > 0$. Начало координат (0,0)—особая точка типа седла. По-прежнему

$\lambda_1 > 0$, $\lambda_2 < 0$. Так как $c > 0$ и $1 + k\lambda_1 > 0$, то $1 + k\lambda_2 > 0$. Диаграмма Кенигса—Лемеря приведена на рис. 4. Так как по предположению $h_1 = h - \frac{k}{2\delta} > 0$ и $\delta < 1$, то, следовательно, $2h - k > 0$. Отсюда вытекает, что $\Delta_1 > 0$ и $\Delta_2 < 0$ (см. рис. 4). Поэтому пересечения кривых $y_1(y_0)$ и $y_2(y_1)$, как и в предыдущем случае, не будет, т. е. автоколебания отсутствуют. Разбиение фазовой плоскости на траектории приведено на рис. 5.

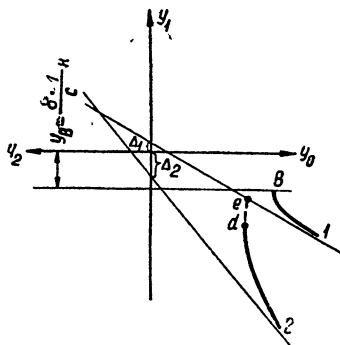


Рис. 4

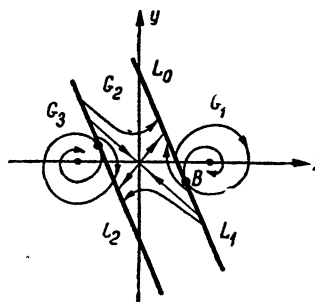


Рис. 5

3) $h < 1$, $\delta < 1$, $k > 0$ ($k_1 < 0$, $\Delta > 0$), но $h_1 < 0$. Начало координат $(0,0)$ —особая точка типа седла. $\lambda_1 > 0$, $\lambda_2 < 0$, $\left(\frac{dy_2}{dy_1}\right)_{\tau_1=\infty} = \infty$. Диаграммы Кенигса—Лемеря приведены на рис. 6. Из рис. 6 видно, что возможны две точки пересечения кривых $y_1(y_0)$ и $y_2(y_1)$, одна точка пересечения или отсутствие точек пересечения. Иначе, в зависимости от соотношений параметров имеет место абсолютная

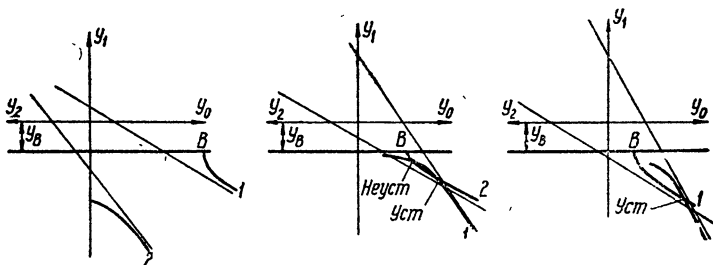


Рис. 6

стабильность (система стремится к состоянию равновесия $1,0$ или $-1,0$), или два предельных цикла (внешний устойчивый, внутренний неустойчивый), возникающих из уплотнения фазовых траекторий, или один (устойчивый) предельный цикл (второй предельный цикл слился с зоной притяжения* особых точек $1,0$ и $-1,0$).

4) $h < 1$, $\delta > 1$, $k < 0$. В этом случае $k_1 > 0$, $h_1 > 0$, $a\Delta \geqslant 0$. Система имеет лишь одно состояние равновесия в начале координат $(0,0)$ типа устойчивого узла (фокуса). Для построения диаграммы Кенигса—Лемеря отметим, что $\left(\frac{dy_1}{dy_0}\right)_{\tau_1=0} = -1$, т. е. совпадает с на-

* Если начальные условия принадлежат зоне притяжения особых точек, то система будет стремиться к устойчивому состоянию равновесия $(1,0)$ или $(-1,0)$ без переключения реле.

клоном асимптоты к кривой $y_2(y_1)$ при $\tau_2=0$. Далее выясним знак величины $\Delta_3 = (y_1)_a - (y_1)_c$, определяющей взаимное расположение асимптот (см. рис. 7)

$$\Delta_3 = \frac{2h-k}{c} [1 + e^{-\frac{\pi h}{\omega}} + \delta(1 - e^{-\frac{\pi h}{\omega}})]. \quad (14)$$

Из выражения (14) видно, что $\Delta_3 > 0$. Разность Δ_4 (см. рис. 7) также положительна

$$\Delta_4 \equiv (y_0)_{\tau_1=0} - y_2^* = \frac{4\delta h_1}{c} > 0. \quad (15)$$

Учитывая, что кривая $y_2(y_1)$ обращена вогнутостью вниз, убеждаемся в отсутствии точек пересечения кривых $y_1(y_0)$ и $y_2(y_1)$, т. е. в отсутствии автоколебаний.

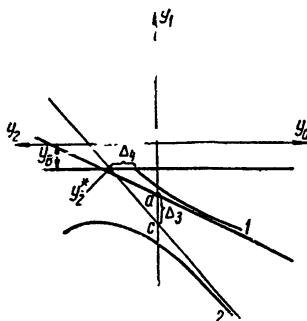


Рис. 7

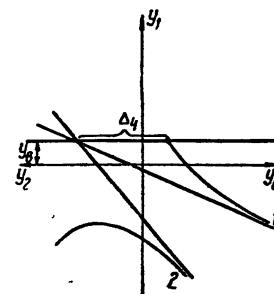


Рис. 8

5) $h < 1, k > 0, \delta > 1 (k_1 > 0)$. Состояние равновесия—устойчивый фокус или узел в точке $(0,0)$. Положим $h_1 \geq 0$. Так как при любом знаке Δ —величина $\Delta_4 > 0$, то, учитывая знак $\frac{dy_2}{dy_1}$ и $\frac{d^2y_2}{dy_1^2}$, убеждаемся

в отсутствии предельных циклов (см. рис. 8).

6) $h < 1, k > 0, \delta > 1 (k_1 > 0)$, но $h_1 < 0$. Состояние равновесия в точке $(0,0)$ —неустойчивый узел или фокус. Отметим, что в данном случае $\Delta_4 = \frac{4\delta h_1}{c} < 0$, т. е. точка $(y_1)_{\tau_1=0} = (y_0)_{\tau_1=0} = \frac{\delta-1}{c} k$ лежит сле-

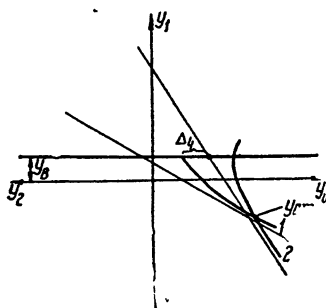


Рис. 9

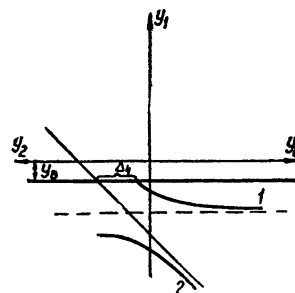


Рис. 10

ва от асимптоты (10). Так как кривая $y_2(y_1)$ обращена вогнутостью вверх, то кривая $y_2(y_1)$, в частности, не может пройти через точку $(y_0)_{\tau_1=0} = (y_1)_{\tau_1=0}$. Заметим, что если $(y_1)_{\tau_1=0} = y_1(z_2)$, то

$$-[y_2(\tau_2) + (y_0)_{\tau_1=0}] = \frac{\delta - (\cosh \omega_2 \tau_2 + e^{-h_1 \tau_2})}{\sinh \omega_2 \tau_2} \omega_2 - h_1 > 0.$$

Следовательно, имеет место лишь одна точка пересечения, т. е. один (устойчивый) предельный цикл (см. рис. 9).

7) $h > 1$, $k < 0$, $\delta > 1$ ($k_1 > 0$). Здесь $h_1 > 1$ и $\Delta > 0$. Начало координат — устойчивый узел. Так как $\Delta_4 = \frac{4\delta h_1}{c} > 0$ (считая $c > 0$) и кривая $y_2(y_1)$ обращена вогнутостью вниз, то точек пересечения нет (см. рис. 10) (при $c < 0$ результат тот же самый, так как $y_2(y_1)|_{c>0} = -y_2(y_1)|_{c<0}$ и $y_1(y_0)|_{c>0} = -y_1(y_0)|_{c<0}$).

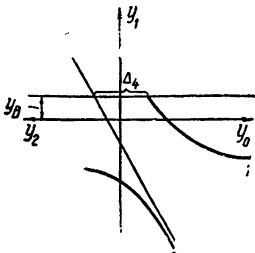


Рис. 11

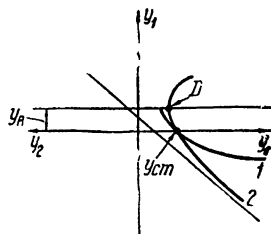


Рис. 12

8) $h > 1$, $k > 0$, $\delta > 1$ ($k_1 > 0$). Положим $h_1 > 0$. Начало координат — устойчивый узел или фокус. При $c > 0$ величина $\Delta_4 > 0$, и так как кривая $y_2(y_1)$ обращена вогнутостью вниз, то точек пересечения нет (см. рис. 11) (то же при $c < 0$).

9) $h > 1$, $k > 0$, $\delta > 1$ ($k_1 > 0$). Положим $h_1 < 0$. Начало координат — неустойчивый узел или фокус. Найдем координаты точки D , в которой кривая $y_2(y_1)$ имеет горизонтальную касательную. Получим, считая $c > 0$ и Δ любого знака,

$$(y_1)_D = \frac{\delta k k_1}{c} > 0, (y_2)_D = -\frac{\delta}{c} \left(-2\omega_2 \frac{\sinh h_1 \tau_2}{\cosh \omega_2 \tau_2} - 2h_1 + kk_1 \right) < 0.$$

Легко видеть, что

$$-(y_2)_D + (y_0)_D > 0.$$

На диаграмме Кенигса — Лемеря имеет место только одна точка пересечения (см. рис. 12); тот же результат имеет место при $c < 0$.

Из вышеприведенного анализа следует, что предельные циклы существуют лишь при $h_1 < 0$. Если $h < 1$ и $\delta < 1$, то в пространстве параметров граница между областью отсутствия предельных циклов и областью существования двух предельных циклов определяется из условий:

$$y_0(\tau_1) = -y_2(\tau_2),$$

$$y_1(\tau_1) = y_1(\tau_2),$$

$$\frac{dy_1}{dy_0}(\tau_1) = -\frac{dy_1}{dy_2}(\tau_2),$$

а граница между областью существования двух предельных циклов и областью существования одного предельного цикла из условий:

$$y_2(\tau_2) = -y_0(\bar{\tau}_1),$$

$$y_1(\tau_2) = y_1(\bar{\tau}_1).$$

Если $\delta > 1$, то имеется лишь граница между областью отсутствия предельных циклов и областью существования одного предельного цикла. Ее уравнение $h_1 = 0$. На рис. 13 приведено разбиение пространства параметров на области одинаковой топологической структуры фазовой плоскости.

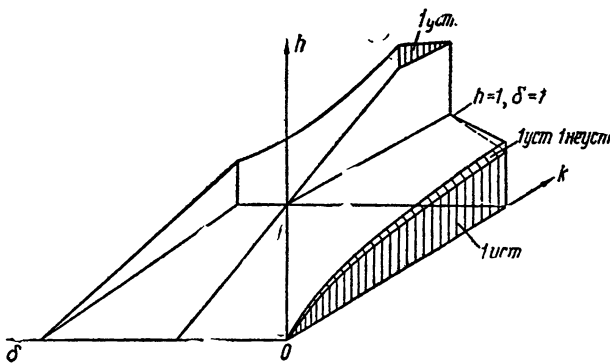


Рис. 13

Период автоколебаний равен

$$\tau = 2(\tau_1^* + \tau_2^*),$$

где $\tau_1^*, \tau_2^* (0 < \tau_1^* < \bar{\tau}_1, 0 < \tau_2^* < \infty)$ — значения τ_1 и τ_2 , соответствующие неподвижной точке и определяемые из системы соотношений

$$y_2(\tau_2^*) = -y_0(\tau_1^*),$$

$$y_1(\tau_2^*) = y_1(\tau_1^*).$$

ЛИТЕРАТУРА

1. Н. А. Железцов. Труды ГИФТИ и Радиофака ГГУ, 1957, 35, 220.
2. А. А. Андронов, С. Э. Хайкин. Теория колебаний, ч. 1, 1937.

Исследовательский физико-технический институт при
Горьковском университете.

Поступила в редакцию
28 мая 1957 г.